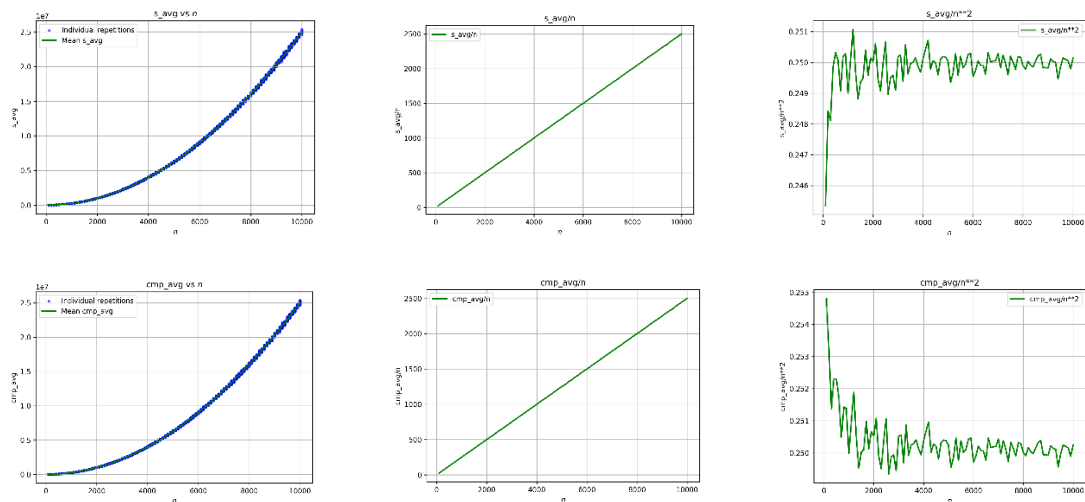
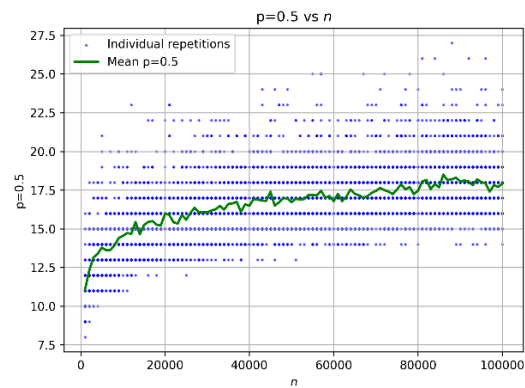
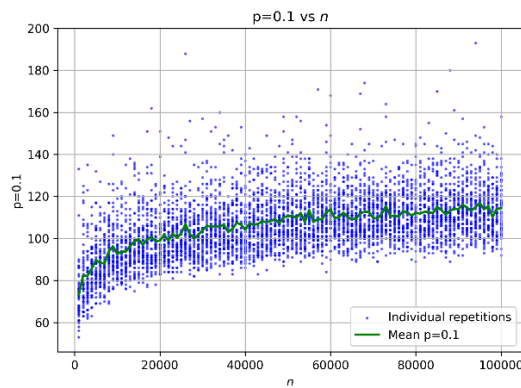


Maksymalne zapętnienie pojedynczej urny dla obu przypadków wzrasta wraz z zwiększeniem liczby kul i urn. Dla $d=1$ maksymalne zapętnienie pojedynczej urny jest większe niż dla $d=2$, zatem rozkład kul jest 'równiejszy' dla drugiego przypadku. Z wykresu L_n^1/f_1 można wnioskować, że funkcja jest asymptotyczna do f_1 . Natomiast wykresy dla L_n^2 (między innymi L_n^2/f_2) mogą sugerować asymptotyczność do $f_2(n) = \ln \ln n / \ln 2$.



Wykresy liczby wykonanych porównań do liczby przestawień wyglądają bardzo podobnie. Obydwa($cmp(n)$ i $s(n)$) zdają się rosnąć kwadratowo oraz są wprostproporcjonalne do n , co odzwierciedlają ich wykresy liniowo. $cmp(n)/n^2$ i $s(n)/n^2$ dążą do tej samej wartości w przybliżeniu 0.25, oznacza to że są asymptotyczne do n^2 .

Symulacja została wykonana dla $n \in \{1000, 2000, \dots, 100000\}$ dla $p=0.1$ i $p=0.5$ po $k=50$ powtórzeń.



Dla mniejszego prawdopodobieństwa ($p=0.1$) potrzebna jest znacznie większa liczba transmisji, co najmniej 4 razy większa, aby wszystkie węzły dostały przesłaną wiadomość. Również poszczególne wyniki transmisji są bardziej skoncentrowane oraz skupione bliżej średnie niż dla większego prawdopodobieństwa.